

II-4 地盤の弾性および変形諸常数に関する一考察

京都大学 学生員 川村滿紀

1. はじめに

自然地盤における沈下はほとんど弾性的ではなくと云われており、(1) 3 の複雑な問題を含んでゐる。粒土について、これまでの数多くの理論によれば沈下は次の2つの段階に区別して考えることができる。オ一：(1) やる弾性沈下と呼ばれるもので、荷重がごく短時間作用した場合に生ずるもの。オ二：長期間荷重が作用した場合に生ずる沈下の時間経過による増加である。この場合地盤の応力-変形特性について実験することは沈下に関する研究に欠くべからざるものであり、本研究は上述の二つの場合に考え方される諸常数の性質について実験的考察を試みたものである。

2. 地盤係数と地盤の弾性係数との関係について

地盤の弾性係数(E)と地盤係数(K)との関係について Schleicher が載荷試験より次のようないき方を導いてゐる。 $E = \omega \frac{P}{F} \sqrt{F} = \omega \cdot K \sqrt{F}$ (1)

ここで ω : 常数 P : 圧力 δ : 沈下量 F : 載荷板面積

(1) 式のもつ意味について考えてみる。式(1)より $E = P/\delta$ と見て、 $\omega \sqrt{F}$ は供試体の高さに当たるものであることがわかる。実際地盤における応力分布は図-1において④のうな形に見えるが、④という圧力面を半径 P 、高さ $t_m = \omega \sqrt{F}$ の矩形で置き換えるならば、 t_m はたゞえば一軸試験における供試体の高さと考えられ、その意味で等価供試体高さといふ。載荷板が円形のときは $\omega = \pi/4$ をとする。ここではこの式(1)がビザンビの妥当性を持つてゐるかを実験により確かめるために倉敷市水島の埋立地で行なわれた載荷試験を利用した。その荷重-沈下曲線の初期傾度より求めた地盤係数 K は 0.12 kN/cm^2 であった。

またこの載荷試験には直徑 3.92 m の底面をもつ鋼製水槽を用いたので $t_m = 3.1 \text{ m}$ となり、(1) 式の右辺は 3.8 kN/cm^2 となる。一方(1)式の左辺の E については Schleicher は何ら触れていない。

ここでは二つの場合について考えてみた。オ一は側方非拘束の一軸圧縮試験の応力-ひずみ曲線よりえられるもの、オニは三軸圧縮試験(非排水)の応力-ひずみ曲線よりえられるものである。ここで試料は $t_m/2$ の深度すなわち地表面下約 1.5 m のものを用いた。オニの三軸圧縮試験の側正则是 $\sigma_3 = \sigma_1 + \sigma_u$ により計算したものである (σ : 土の単位体積重量、 σ_u : 踏き壓縮強度)。この場合 $\sigma_3 = 0.45 \text{ kN/cm}^2$ となつた。このよ

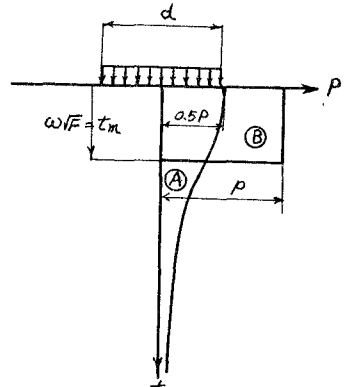


図-1

うにして求めた結果、オ一に対しても $E_1 = 3.52 \text{ kN/cm}^2$ 、オニに対しても $E_2 = 3.00 \text{ kN/cm}^2$ となり、オ一、オニの弾性係数をとっても大差なく、また載荷試験から(1)式により E を求めても、かなり信頼できるものであることが裏証できた。

3 土の応力一変位特性に関する実験的考察

一般的にいって、土の弾性係数を求める試験は側方の拘束条件の差違により三つの場合に分けられる。まず一軸圧縮試験の結果から求まる非拘束弾性係数(E_0)と側方を完全に拘束しているという意味で圧密試験の結果より得られる拘束弾性係数(E_c)が考えられる。しかし実際地盤内の応力状態は上の二つにいずれでもない。したがって地盤の弾性係数として考えられる他一つは三軸試験において、ある側圧のもとで得られた部分的拘束弾性係数(E_b)である。ここでは拘束弾性係数 E_c の性質についての実験結果を記す。圧密試験結果の表示法として、最も一般的な圧力一曲げきひ曲線としての表示法の他に圧力一沈下曲線としての表示法がある。これは各荷重段階で24時間圧密を行はる時の全沈下量をその荷重段階での最終沈下量として、普通目盛の方眼紙にひき P - δ 曲線を描き、さらに各圧力に対する曲線の接線が水平となる角の余切(cotangent)をとり、それを E_c として両対数方眼紙に $\log E_c - \log P$ 曲線として整理する。このように整理した例として図-2と図-3に示す。

$E_c = a \cdot P^b$ による $\log E_c - \log P$ 曲線は直線になる。すなはち $E_c = a \cdot P^b$ (Kg/cm^2) という関係が成立し、特に処女圧縮における $b = 1$ となる。

さて反覆膨脹の場合には直線の傾度がゆるくなるとよりもむしろなる。筆者の実験結果によると図-3から明らかのように、処女圧縮ではそれもは18°~15°の傾度を示したが、反覆膨脹の場合には $\log E_c$ の結論と異なり、試料によつては必ずしも処女圧縮の場合よりもゆるくなりなりで、むしろ急な傾度を示すものさえ生じた。しかし反覆圧縮は処女圧縮の傾度よりもゆるいという結果を得ている。

$\log E_c - \log P$ 曲線はさらにもう一つの重要な特性をもつてゐる。それは図-3からも明らかのように初期荷重部分で折れるとことである。この事実はその折点のまゝ荷重が先行圧縮荷重であることを如実に物語つてゐる。これは反覆圧縮の場合の傾度は処女圧縮の場合の傾度よりもゆるいといふことと図-3からわかるように、折点荷重以下の直線が反覆圧縮の直線にはば平行であるといふこれら二つの事実を考え合わせると容易に理解できるであろう。

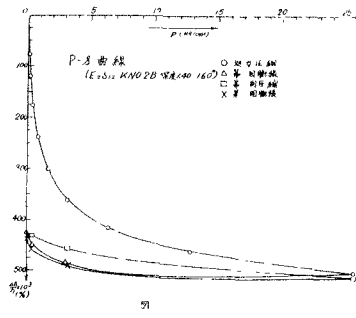


図-2

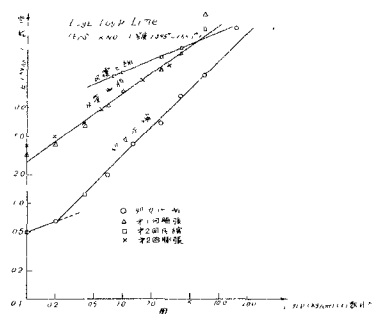


図-3